





























MAPA GEOLOGICO DE ESPAÑA
ESCALA 1:50.000

ALBUM FOTOGRAFICO DE LA
HOJA Nº 662 (23-26)

VALVERDE DE JUCAR

Julio 1990



23-26-YP - AD - 9301.F Aspecto de la Fm. Utrillas (Unidad 2) bajo los niveles margoso-dolomíticos de la Fm. Alatoz (Unidad 3).



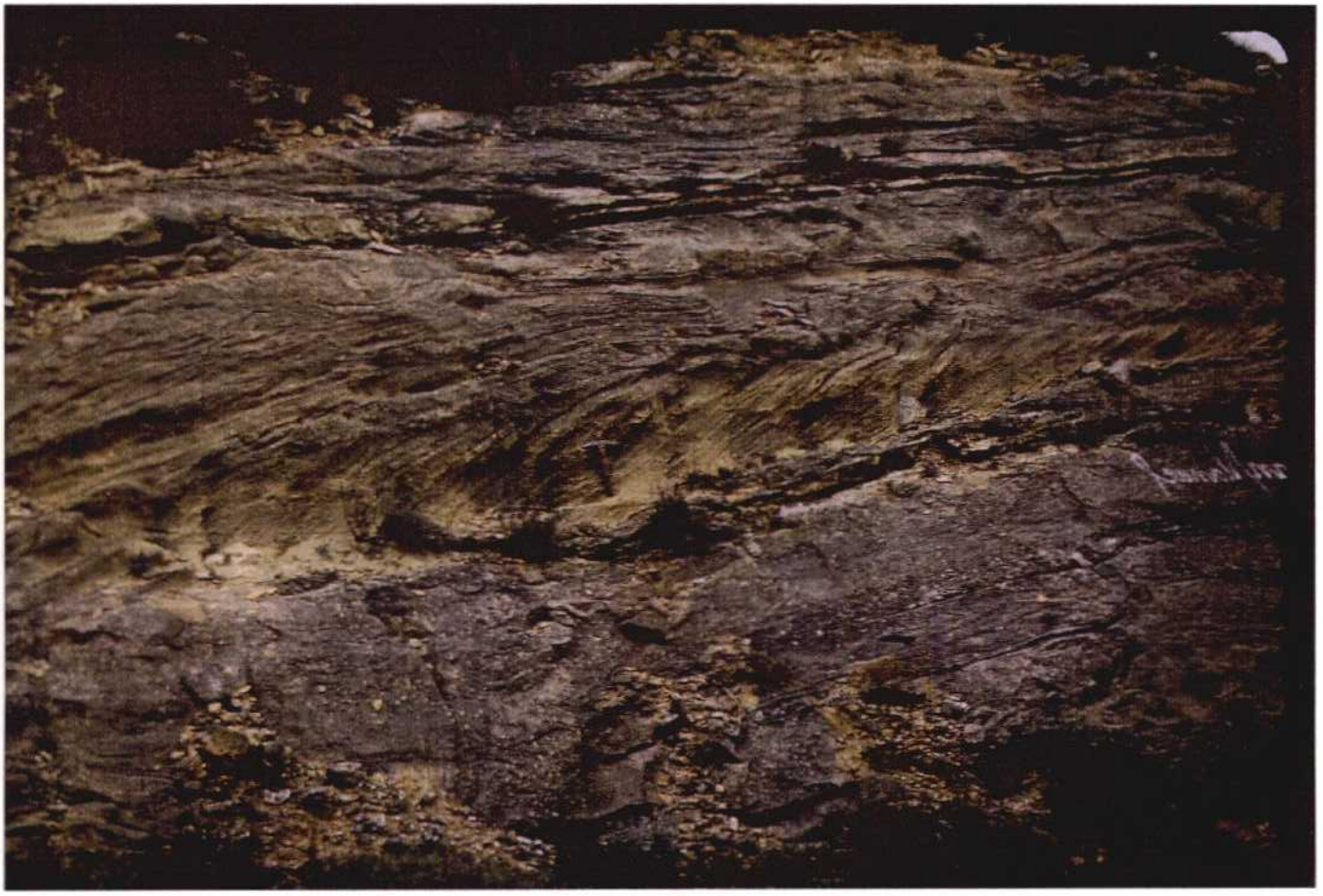
23-26-YP-AD 9302.F **Fm. Brechas dolomíticas de Cuenca (Unidad 6) al norte de Albadalejo del Cuende.**



23-26 - YP- AD 9303.F Niveles calcáreos en la Fm. Villalba de la Sierra (Unidad 7) en la terminación suroriental del Anticlinal de Villares del Saz-La Hinojosa.



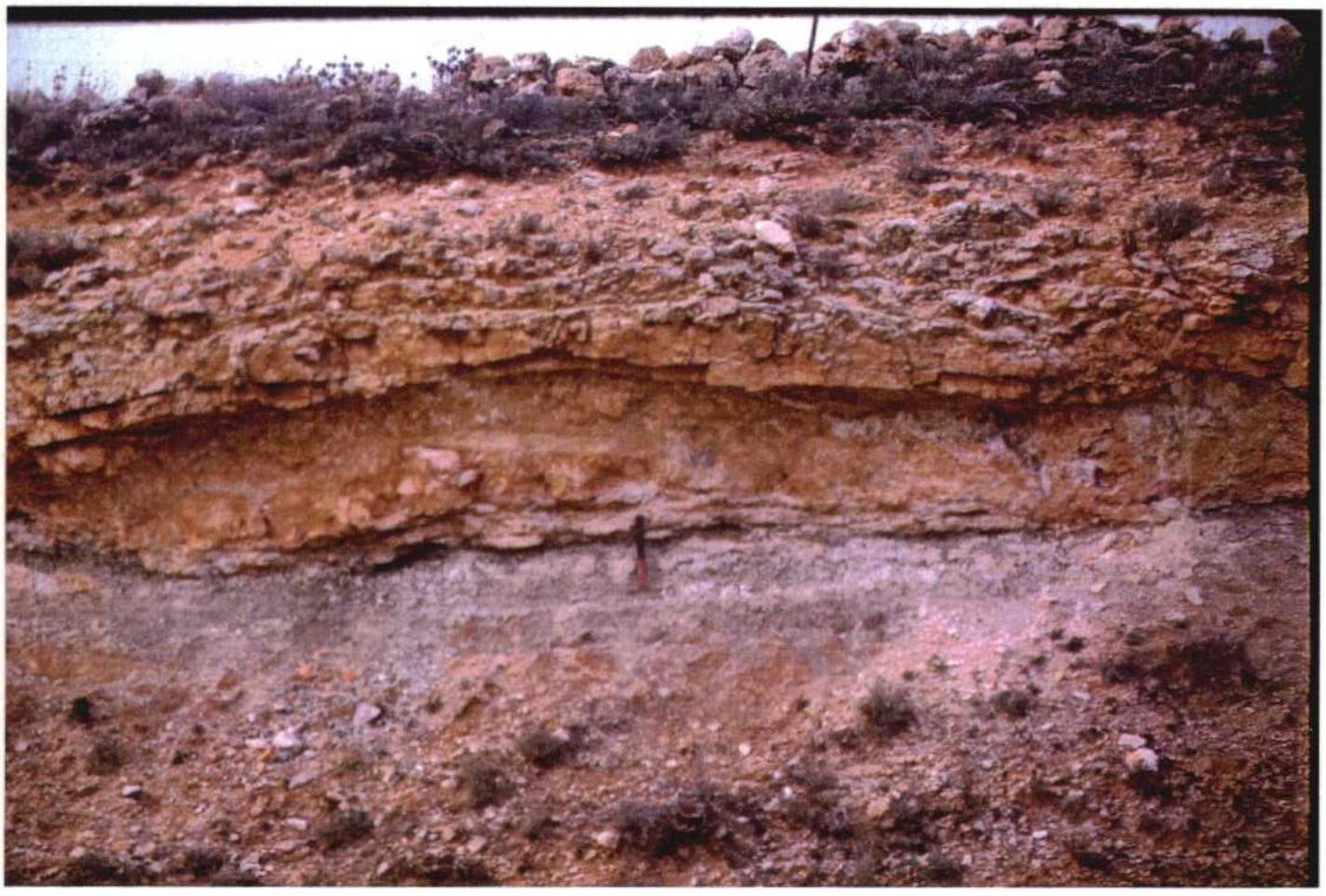
23-26_ VP- AD 9304.F Aspecto de la Fm. Villalba de la Sierra (Unidad 7) en los alrededores de Villares del Saz.



23-26-YP-AD 9305.F Facies canalizadas (Unidad 14) dentro de la Unidad Paleógeno-Neógena al SE de Villares del Saz.



23-26-VP-AD-9306.F Tramo arcilloso calcáreo (Unidades 16 y 17) correspondiente a la Unidad Paleógeno-Neógena entre La Almarcha y el Embalse de Alarcón.



23-26-YP-AD-9307.F Detalle de las unidades anteriores (16 y 17).



23-26_YP-AD_ 9308.F Nivel calcáreo (Unidad 17) culminando la Unidad Paleógeno-Neógena junto al Trasvase Tajo-Segura (O. de Belmontejo).



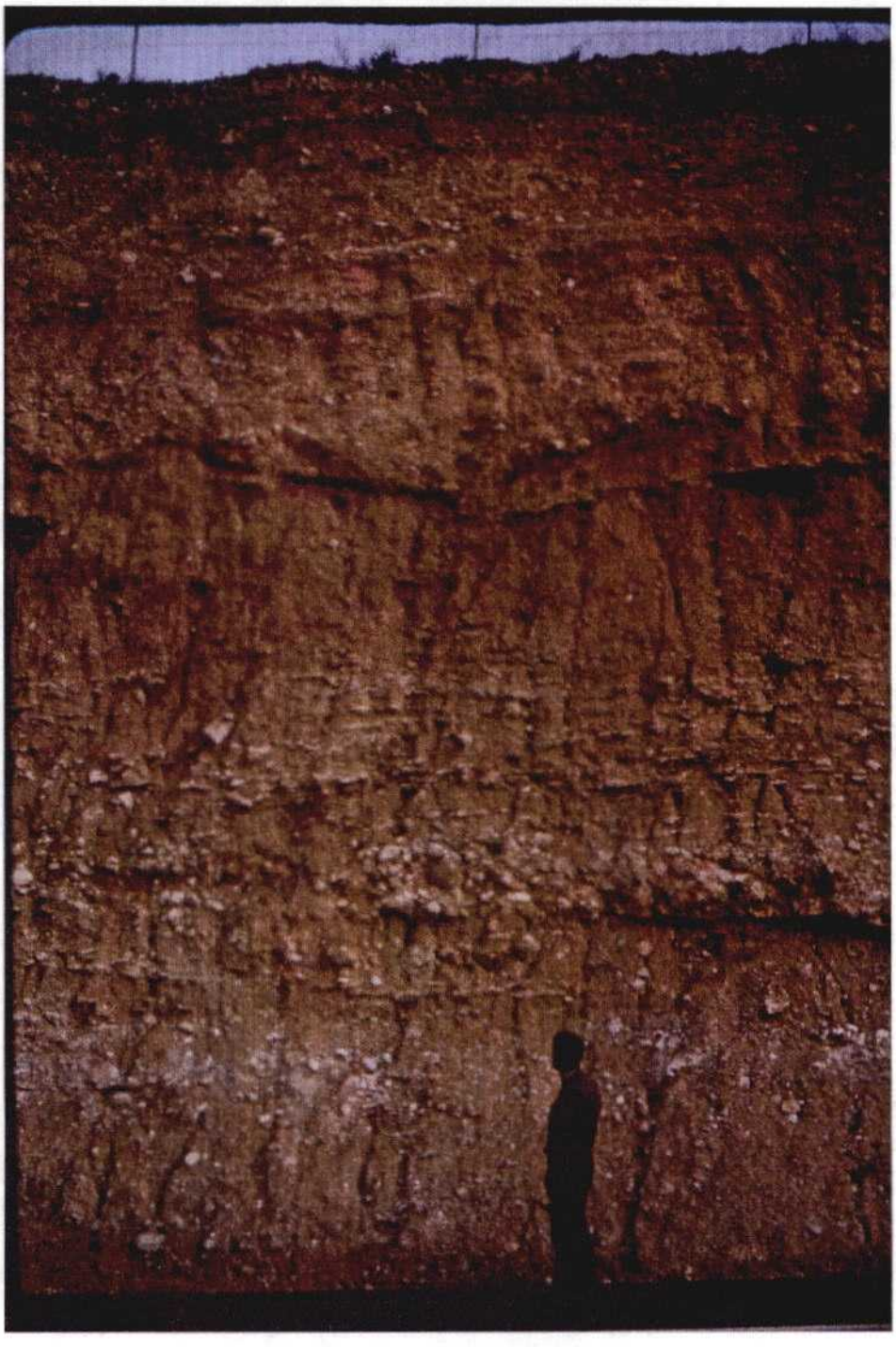
23-26_YP-AD 9309.F Yesos miocenos (Unidad 12) en Montalbanejo.



23-26-YP-AD-9310.F La unidad anterior (12) vista desde otra perspectiva.



23-26-YP-AD-9311.F **Niveles conglomeráticos (Unidad 19) indicando el muro de la Unidad Neógena al SE de la Hoja.**



23-26-YP-AD- 9312.F Brechas y arcillas de la Unidad 18 en torno al Anticlinal de Castillo de Garcimuñoz-Montalbanejo.



23-26-YP-AD- 9313.F Terraza alta del río Júcar en las proximidades de Valverde de Júcar (Unidad 21).



23 - 26 - YP - AD - 9314.F Terraza media del río Júcar (Unidad 22) junto a la carretera Villaverde y Pasaconsol-Olivares de Júcar.



23-26-YP-AD-9315.F La misma terraza anterior, desde otro ángulo, sobre las facies arcillosas de la Unidad 11.



23-26-YP-AD-9316.F Detalle de las calizas travertínicas integrantes de la Unidad (24).



23-26-YP-AD- 9317.F Panorámica del Anticlinal de Villares del Saz-La Hinojosa.



23-26-YP-AD-9318.F Mesa de Olivares de Júcar junto al Embalse de Alarcón, integrada por la Unidad Paleógeno-Neógena.



23-26_YP-AD_ 9319.F Panorámica de la superficie de erosión intramiocena desarrollada en el Anticlinal de Valera.



23-26 - YP-AD-9320.F Panorámica de la Mesa de Valverde de Júcar culminada por la terraza alta del río Júcar. En segundo término, el Embalse de Alarcón.